



Prediksi Keadaan Tegangan Sisa Dekat Permukaan untuk Benda Uji yang Dibulatkan Keras Menggunakan Model Nonlinier Berbasis Data

*Marcelino Efendi¹, Pratama Budianto², MichaelSibarani³

^{1,2} Teknik Mesin, Universitas Sumatera Utara, Medan, Indonesia

³ Teknik Mesin, Universitas HKBP Nommensen, Medan, Indonesia

ARTICLE INFO

Article history:

Received Mei 20, 2024

Revised Jun 25, 2024

Accepted Jun 30, 2024

Keywords:

Pemesinan keras

Stres sisa

Pemodelan berbasis data

AISI 6150

ABSTRACT

Advantageous near surface residual stress states, being of crucial importance for performance f components, can already be established by adequate machining strategies avoiding cost intensive post treatments. In the present work, residual stress and integral width distributions in hard-turned specimens (AISI 6150) are characterized in dependence of processing parameters and workpiece hardness. In order to provide a basis for robust control schemes, experimental results are analyzed using various data driven methods. It is revealed that sophisticated approaches such as Takagi-Sugeno multi-models accurately predict process- property relationships and eventually outperform standard approaches such as multiple linear regression.

This is an open access article under the CC BY-NC license.



Corresponding Author:

Marcelino Efendi,

Teknik Mesin,

Universitas Sumatera Utara, Indonesia,

Email: Marcelino.efendi@gmail.com

PENDAHULUAN

Evaluasi sifat permukaan telah menjadi subjek penelitian intensif selama beberapa dekade karena permukaan biasanya merupakan area komponen yang paling tertekan. Bukan hanya karena distribusi beban umum, tetapi juga disebabkan oleh takikan yang diperlukan secara geometris, retakan sering dimulai di permukaan. Selain itu, hanya permukaan komponen yang bersentuhan langsung dengan lingkungan, yang pada akhirnya membuatnya rentan terhadap korosi.

Dalam konteks "Surface Integrity" (SI) banyak pekerjaan yang berfokus pada mempelajari sifat-sifat permukaan, seperti tegangan sisa, pengerasan kerja dan evolusi struktur mikro yang bergantung pada parameter pemesinan [1]. Karena fakta bahwa proses pemesinan terakhir menciptakan permukaan, ini sangat penting untuk kinerja dan kualitas bagian akhir.

Proses finishing yang sudah ada, seperti penggilingan, pada dasarnya dapat diganti dengan proses penggilingan atau pembubutan, karena pemesinan untuk kondisi bahan yang diperkeras. masing-masing dimungkinkan oleh alat dan bahan pemotong berperforma tinggi [2]. Dalam hal ini banyak pekerjaan bertujuan untuk pengkondisian permukaan selama pemesinan. Terutama proses belok memiliki relevansi tertinggi, seperti yang dapat dilihat mis. dalam rangka program penelitian prioritas 2086 yang saat ini didanai di Jerman [3]. Dalam pekerjaan sebelumnya, telah ditunjukkan bahwa dalam kasus pembubutan tidak hanya setiap parameter proses, tetapi juga nilai kekerasan awal benda kerja memiliki dampak penting pada sifat akhir [4,5].

Untuk dapat memprediksi parameter SI secara real time tergantung pada properti awal, proses parameter pemesinan dan harus dimodelkan secara keseluruhan, karena faktor-faktor yang mempengaruhi sangat berinteraksi satu sama lain [6,7]. Pendekatan analitik tidak dapat mencakup kompleksitas proses, karena mereka memerlukan pengetahuan khusus yang mendalam tentang plastifikasi, transformasi fasa, perubahan struktur mikro dan faktor-faktor yang mempengaruhinya [8]. Simulasi elemen hingga seringkali terlalu memakan waktu [6]. Akhirnya, teknik pemodelan empiris memberikan keuntungan penting dalam hal pemodelan parameter SI. Pendekatan semacam itu memungkinkan akurasi aproksimasi yang tinggi dan secara bersamaan hanya membutuhkan upaya komputasi yang rendah. Selain itu, mereka dapat dihubungkan ke berbagai macam struktur model berbasis data, beberapa di antaranya dapat menangani distribusi data yang jarang [9].

Pekerjaan ini menunjukkan kemampuan pendekatan pemodelan berbasis data untuk prediksi sifat permukaan. Multi-model Takagi-Sugeno diterapkan dan dibandingkan dengan regresi linier berganda sebagai pendekatan dasar. Tegangan sisa dan distribusi lebar integral, seperti yang ditentukan oleh difraksi sinar-X, dari spesimen yang dibulatkan keras yang ditandai dengan kekerasan awal yang berbeda berfungsi sebagai basis data untuk pemodelan empiris.

METODE PENELITIAN

Spesimen silinder yang terbuat dari AISI 6150 dikeraskan dan ditempa pada suhu yang berbeda, menghasilkan enam tingkat kekerasan awal yang berbeda (HV 10) seperti yang ditunjukkan pada tabel 1.

Tabel 1: Nilai kekerasan untuk semua spesimen yang dipertimbangkan, rentang sebaran untuk semua kondisi adalah +/- 30 HV

Mean workpiece hardness in HV					
322	415	500	564	656	680

Setelah perlakuan panas dan sebelum percobaan pembubutan, semua spesimen dikerjakan dengan mesindengan diameter $d = 34$ mm dan panjang $l = 200$ mm. Operasi pembubutan keras dilakukan dengan menggunakan mesin bubut yang dikendalikan NC (Monforts RNC602) di Institute of MachiningTechnology (TU Dortmund). Insert Polycrystalline boron nitride (PCBN) (ISO-Code CNGA 120408) dengan lebar talang $b_y = 0,15$ mm dan sudut $\gamma_f = 25^\circ$ dipilih, dikombinasikan dengan dudukan alat tipeDCLNL2525 (sudut penggaruk nominal $\gamma = -6^\circ$ dan sudut rake efektif $\gamma = -31^\circ$ di area talang). Feed rate (f),depth of cut (ap) and cutting speed (vc) divariasikan seperti pada tabel 2.

Tabel 2: Memotong parameter untuk mengubah eksperimen, lihat teks untuk detailnya

f in mm/rev	a _p in mm	v _c in m/min
0.05	0.25	100
0.05	0.25	250
0.125	0.25	175
0.2	0.25	100
0.2	0.25	250
0.3	0.3	245

Setelah pemesinan, tegangan sisa dan pengukuran lebar integral dalam arah aksial dan tangensial dilakukan pada ψ -difraktometer. Menggunakan radiasi CrK α , {211} bidang kisi martensit diukur dalam rentang 148° hingga 164° (dalam 2θ). Antara -45° dan 45° dalam ψ , 11 orientasi kristal dipertimbangkan. Kolimator $\varnothing = 1$ mm dipasang. Profil intensitas dianalisis menggunakan metode gravitasi geser untuk menghitung sudut difraksi $2\theta\psi$. Perhitungan tegangan dilakukan dengan konstanta elastis $\frac{1}{2}S_2 = 6,09 \times 10^{-6}$ mm² /N. Untuk mengukur tegangan sisa secara mendalam, material dihilangkan secara elektrolitik. Koreksi penghapusan lapisan tidak diterapkan [4].

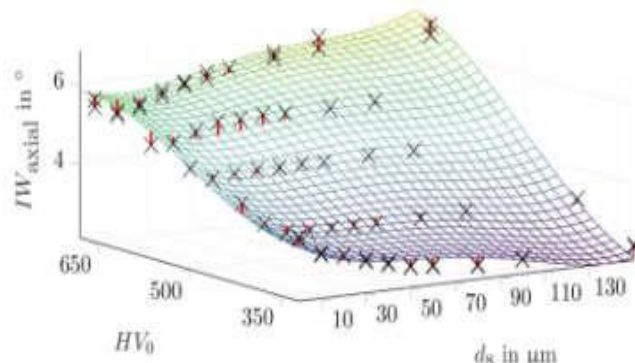


Pendekatan regresi linier berganda (MLR) dengan fungsi basis polinomial dipertimbangkan dalam kasus ini. Karena tingginya jumlah monomial potensial dan istilah interaksi hingga kekuatan empat, regresi bertahap (SWR) diterapkan untuk pemilihan regressor yang relevan. Ini menghasilkan model dengan 11 parameter untuk tegangan sisa dan 19 parameter untuk lebar integral. Hasil ditunjukkan pada gambar 4 dan gambar 6.

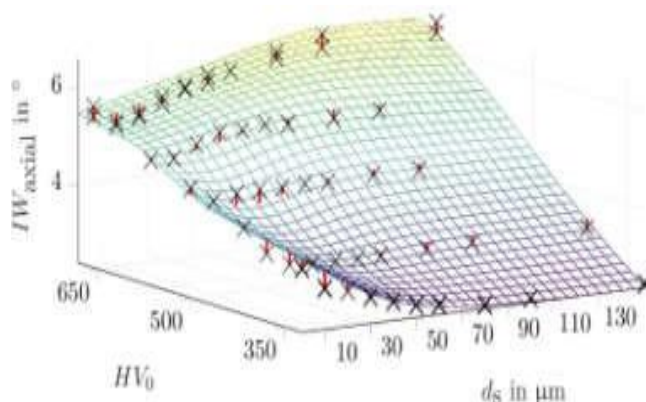
Model Takagi-Sugeno (TS) terdiri dari sub model affine superposed menggunakan fungsi keanggotaan tipe fuzzy-c-means (FCM). Untuk menentukan jumlah sub model dan parameter ketidakjelasan, kombinasi parameter yang berbeda diuji. Model terpilih terdiridari 3 sub model untuk tegangan sisa (gambar 7) dan 4 sub model untuk lebar integral (gambar 5).

HASIL PENELITIAN

Visualisasi model cocok untuk kedua pendekatan, berfokus pada lebar integral dan tegangan sisa, ditunjukkan pada Gambar 4-7. Ukuran kinerja terkait tercantum dalam tabel 3. Kesan visual dari pemasangan lebar integral yang akurat dikonfirmasi oleh koefisien determinasi 10 kali lipat silang yang divalidasi (R^2_{CV}) dan disesuaikan (R^2_{adj}). Dengan demikian, sekilas data yang ditampilkan menunjukkan bahwa kedua pendekatan tersebut mampu memprediksi parameter SI. Perbandingan langsung hasil untuk tegangan sisa, bagaimanapun, mengungkapkan bahwa TS jelas mengungguli MLR.

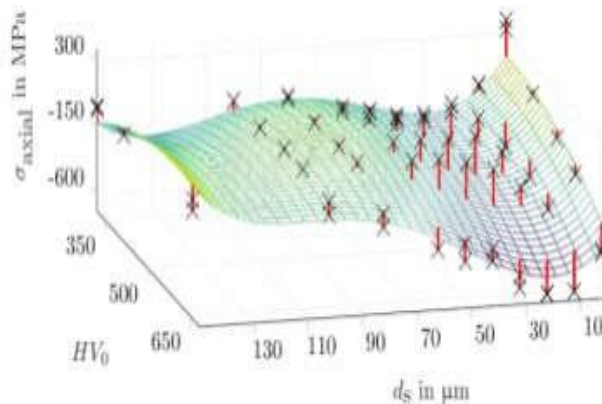


Gambar 4: Respon permukaan model regresi diperoleh dengan MLR (mesh) dan lebar integral aksial terukur (x) tergantung pada kekerasan awal dan jarak permukaan ($f = 0,125 \text{ mm/rev}$, $a_p = 0,25 \text{ mm}$, $v_c = 175 \text{ m/min}$)

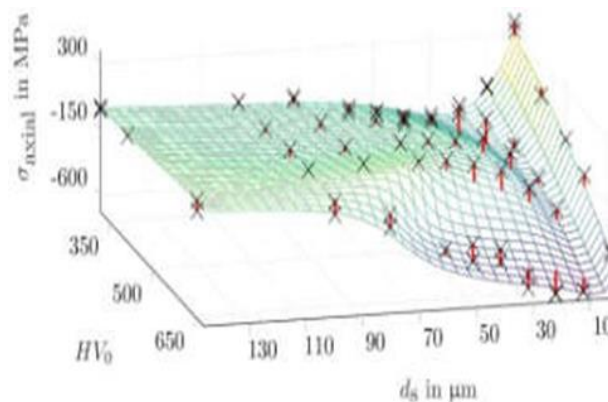


Gambar 5: Respon permukaan model TS (mesh) dan lebar integral aksial terukur (x) bergantung pada kekerasan awal dan jarak permukaan ($f = 0,125 \text{ mm/rev}$, $a_p = 0,25 \text{ mm}$, $v_c = 175 \text{ m/min}$)





Gambar 6: Respon permukaan model regresi diperoleh dengan MLR (mash) dan tegangan sisa aksial terukur (x) tergantung pada kekerasan awal dan jarak permukaan ($f = 0,125 \text{ mm/rev}$, $a_p = 0,25 \text{ mm}$, $v_c = 175 \text{ m/min}$) ; (dikompilasi ulang dari [9])



Gambar 7: Respon permukaan model TS (mash) dan tegangan sisa aksial terukur (x) tergantung pada kekerasan awal dan jarak permukaan ($f = 0,125 \text{ mm/rev}$, $a_p = 0,25 \text{ mm}$, $v_c = 175 \text{ m/min}$); (dikompilasi ulang dari [9])

Tabel 3: Ukuran kinerja model prediksi (sebagiandikompilasi ulang dari [9])

Output	Approach	R ² cv	R ² adj
IW	TS	0.9829	0.9876
MLR	0.9732	0.9772	
σ	TS	0.8669	0.9085
a	MLR	0.6806	0.7012

KESIMPULAN

Dalam konteks integritas permukaan, percobaan pembubutan keras menggunakan spesimen dengan nilai kekerasan awal yang berbeda dilakukan. Pengukuran pasca proses tegangan sisa dan gradien lebar integral di bawah permukaan mengungkapkan dampak simultan dari kekerasan awal dan parameter belok. Interaksi yang kuat dari faktor-faktor yang mempengaruhi membutuhkan pemodelan proses. Dua pendekatan pemodelan berbasis data yang berbeda digunakan dalam pekerjaan ini, regresi linier berganda dan model multi Takagi-Sugeno (TS). Mengingat distribusi data yang jarang, TS terbukti cocok untuk memodelkan proses pemesinan secara andal dalam fokus.

Eksperimen di masa mendatang akan memperluas basis data dengan gaya pemotongan dalam proses dan pengukuran suhu pemotongan. Model tersebut akan digunakan untuk



mewujudkan sensor lunak. Invertibilitas langsung dari model TS akan memungkinkan skema kontrol model terbalik untuk proses hard turning.

UCAPAN TERIMA KASIH

Terimakasih kepada pihak-pihak yang telah mendukung penelitian ini.

Refrensi

- [1] Johnson GR, Cook WH. A constitutive model and data for metals subjected to large strains, high strain and high temperatures. In: Proceedings of the 7th International Symposium on Ballistics, The Hague, The Netherlands, 1983: 541-547.
- [2] Özel, T.; Zeren, E. A Methodology to Determine Work Material Flow Stress and Tool-Chip Interfacial Friction Properties by Using Analysis of Machining. ASME J. Manuf. Sci. Eng. 128, 2006: 119-129.
- [3] Oxley, P. L. B., 1989, Mechanics of Machining, an Analytical Approach to Assessing Machinability, Ellis Horwood Limited.
- [4] Storchak, M.; Rupp, P.; Möhring, H.-C.; Stehle, T.: Determination of Johnson-Cook constitutive parameters for cutting simulations. Metals 9, 2019: 473.
- [5] Bort CG, Bruschi S, Bosetti P. Johnson Cook Parameter Identification for AISI-304 Machining Through Nelder-Mead Method. In: Proceedings of the XI International Conference on Computational Plasticity Fundamentals and Applications, 2011: 1-12.
- [6] Bosetti P, Giorgio Bort CM, Bruschi S. Identification of Johnson-Cook and Tresca's Parameters for Numerical Modeling of AISI-304 Machining. In: Processes Journal of Manufacturing Science and Engineering 135, 2013: 051021.
- [7] Eisseler, R.; Drewle, K.; Grötzingen, K.; Möhring, H.-C. Using an inverse cutting simulation-based method to determine the Johnson-Cook material constants of heat-treated steel. Procedia CIRP 77, 2018: 26-29.
- [8] Agmell M, Ahadi A, Ståhl J-E. Identification of plasticity constants from orthogonal cutting and inverse analysis. In: Mechanics of Materials 77, 2014: 43-51.
- [9] Bergs T, Hardta M, Schrakneppera D. Determination of Johnson-Cook material model parameters for AISI 1045 from orthogonal cutting tests using the Downhill-Simplex algorithm. In: Procedia Manufacturing 48, 2020: 541-552.

